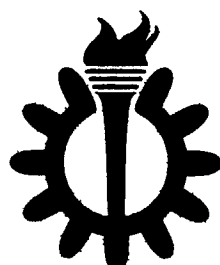
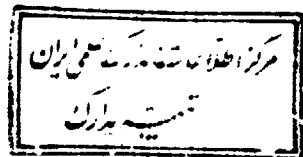


بِسْمِ اللّٰهِ الرَّحْمٰنِ الرَّحِيْمِ
الْحٰمِدُ لِلّٰهِ الْعَظِيْمِ

۱۳۷۹ / ۵ / ۲۱

به نام خدا



دانشگاه علم و صنعت ایران

دانشکده مهندسی برق-گروه کنترل

طراحی و شبیه‌سازی یک کنترل کننده با استفاده از شبکه‌های عصبی
برای کلاسی از سیستمهای غیرخطی

۶۷۱۶۸

شاهین نصرآزادانی

پایان نامه کارشناسی ارشد

در رشته مهندسی کنترل

استاد راهنما: دکتر علی‌اکبر جلالی

استاد مشاور: دکتر محمد فرخی

دی ماه ۱۳۷۸

۳۰ ۱۳۷۸

تقدیم به:

تمام هستی ام

پدر فداکار و مادر دلسوژم

چکیده:

روش خطی‌سازی با فیدبک با وجودی که روشی جذاب و قانونمند را برای کنترل سیستمهای غیرخطی ارائه می‌دهد، اما در عرصه عمل از محدودیت‌هایی رنج می‌برد. یکی از مهمترین آنها، لزوم داشتن مدلی کاملاً دقیق از سیستم است تا حذف ترمehای غیرخطی با دقتی کامل صورت گیرد. در چند دهه اخیر با توجه به پتانسیل خوب شبکه‌های عصبی چند لایه در تقریب توابع غیرخطی، روش‌هایی در راستای استفاده از شبکه‌های عصبی چند لایه در شناسایی سیستمهای غیرخطی پیشنهاد شده است. در این پایان‌نامه، مسئله کنترل تعقیب سیستمهای غیرخطی زمان گستته و زمان پیوسته خطی‌پذیر با فیدبک تک ورودی-تک خروجی و همچنین چند ورودی-چند خروجی با بکارگیری از شبکه‌های عصبی چند لایه بررسی می‌شود. ساختار کنترل کننده شامل روش خطی‌سازی با فیدبک است که بجای توابع غیرخطی نامعلوم، مدل شبکه‌های عصبی آنها جایگزین می‌گردد. وزنهای شبکه‌های عصبی، در حین کنترل، با توجه به خطای تعقیب تنظیم می‌شوند. در اینجا، با توجه به نحوه تنظیم وزنهای، دو روش برای کنترل سیستمهای غیرخطی ارائه می‌شود. در روش اول، ابتدا وزنهای شبکه‌های عصبی برای شناسایی توابع به صورت قطع-خط توسط الگوریتم پس-انتشار آموزش می‌بینند و سپس، در حین کنترل، با کمک الگوریتمی که شامل ناحیه مرده است تنظیم می‌گردند. همچنین در این رساله، روشی برای مقاوم سازی سیستم کنترل شده با استفاده از این روش در برابر اغتشاش ارائه می‌شود. در روش دوم که نیازی به تعلم قطع-خط شبکه‌های عصبی نیست، شبکه‌های عصبی به صورت وصل-خط، تنظیم می‌گردند که برای این منظور از الگوریتمی مشابه اصلاح-۴ در کنترل تطبیقی، استفاده می‌شود که شامل قانون دلتا یا پس-انتشار اصلاح شده است. یکی از مزایای این روش مقاوم کردن سیستم در مقابل اغتشاش‌های محدود نامعین است. قابل ذکر است که در روش‌های فوق نیازی به برخی از محدودیت‌های متقابل در روش کنترل تطبیقی، از قبیل خطی بودن توابع به پارامترهای نامعلوم، نیست.

تقدیر و تشکر:

پس از حمد و ستایش بیکران خداوند متعال که توفیق دانش‌آموختگی عطا فرمود،
برخود لازم می‌دانم که بدینوسیله از استاد ارجمند آقای دکتر جلالی که با رهنمودهای
خوبیش مرا در جهت انجام و ارائه این پایان‌نامه یاری نمودند، تشکر و قدردانی نمایم.
همچنین از استاد گرامی آقای دکتر فرخی که راهنمای و مشوق اینجانب در تمامی
مراحل انجام این پژوهه و نیز تهیه این پایان‌نامه بوده‌اند، صمیمانه تشکر می‌کنم. بعلاوه
از اعضای محترم هیئت داوری، آقایان دکتر بلندی و دکتر مجید بخاراط حضور در
جلسه دفاعیه و رفع اشکالات این پایان‌نامه بسیار سپاسگزارم.

فهرست مطالب

| | |
|---|----|
| فصل اول: مقدمه ۱..... | ۱ |
| ۱-۱. کلیات ۱..... | ۱ |
| ۱-۲. روند مطالب ۶..... | ۱ |
| فصل دوم: مروری بر کنترل سیستم‌های غیرخطی ۷..... | ۷ |
| ۲-۱. مقدمه ۷..... | ۷ |
| ۲-۲. روش کنترل خطی‌سازی با فیدبک برای سیستم‌های زمان-گستته ۸..... | ۸ |
| ۲-۳. روش کنترل خطی‌سازی با فیدبک برای سیستم‌های زمان-پیوسته ۱۰..... | ۱۰ |
| ۲-۴. روش کنترل با ساختار متغیر ۱۴..... | ۱۴ |
| ۲-۵. مروری مختصر بر ساختار کنترل تطبیقی ۱۶..... | ۱۶ |
| فصل سوم: اصول آموزش شبکه‌های عصبی پیشخورد در مدل‌سازی توابع غیرخطی ۱۹..... | ۱۹ |
| ۳-۱. مقدمه ۱۹..... | ۱۹ |
| ۳-۲. اصول و مبانی تقریب در شبکه‌های عصبی ۱۹..... | ۱۹ |
| ۳-۳. شبکه‌های عصبی پیشخورد ۲۰..... | ۲۰ |
| ۳-۴. الگوریتم آموزش پس-انتشار ۲۲..... | ۲۲ |
| فصل چهارم: کنترل سیستم‌های غیرخطی زمان-گستته با بکارگیری شبکه‌های عصبی چند لایه ۲۵..... | ۲۵ |
| ۴-۱. مقدمه ۲۵..... | ۲۵ |
| ۴-۲. کنترل سیستم‌های زمان-گستته به روش STR و با شناسایی اولیه ۲۶..... | ۲۶ |
| ۴-۲-۱. توصیف مدل غیرخطی ۲۶..... | ۲۶ |

| |
|--|
| ۴-۲-۲. مدل‌سازی توابع غیرخطی واحد تحت کنترل توسط شبکه‌های عصبی ۳۰ |
| ۴-۲-۳. قانون تنظیم وزنهای شبکه عصبی ۳۳ |
| ۴-۲-۴. قضیه همگرایی ۳۴ |
| ۴-۳. کاهش اثر اغتشاش در سیستمهای غیرخطی با استفاده از شبکه عصبی ۳۵ |
| ۴-۳-۱. توصیف سیستمهای خطی و غیرخطی در برابر اغتشاش ۳۶ |
| ۴-۳-۲. تحلیل نظری حذف اثر اختلال در خروجی سیستم ۳۷ |
| ۴-۴. کنترل سیستمهای زمان گستته به روش MRAC و بدون شناسایی اولیه ۴۱ |
| ۴-۴-۱. توصیف مدل غیرخطی MIMO ۴۱ |
| ۴-۴-۲. طراحی کنترل کننده با استفاده از شبکه عصبی ۴۳ |
| ۴-۴-۳. الگوریتم تصویر ۴۸ |
| ۴-۵. شبیه‌سازی ۵۰ |

فصل پنجم: کنترل سیستمهای غیرخطی زمان-پیوسته

| |
|--|
| ۶۹..... با بکارگیری شبکه‌های عصبی چند لایه ۶۹ |
| ۶۹..... ۱-۱. مقدمه |
| ۷۰..... ۲-۱. کنترل سیستمهای غیرخطی زمان-پیوسته به روش MRAC و با شناسایی اولیه ۷۰ |
| ۷۰..... ۲-۱-۱. کنترل خطی‌سازی با فیدبک سیستم غیرخطی SISO ۷۰ |
| ۷۱..... ۲-۱-۲. کنترل تطبیقی سیستم SISO با استفاده از شبکه عصبی ۷۱ |
| ۷۴..... ۲-۱-۳. قضیه همگرایی ۷۴ |
| ۷۵..... ۲-۱-۴. کنترل خطی‌سازی با فیدبک سیستم غیرخطی MIMO ۷۵ |
| ۷۷..... ۲-۱-۵. کنترل تطبیقی سیستم MIMO با استفاده از شبکه عصبی ۷۷ |
| ۸۰..... ۲-۲. کنترل مقاوم سیستمهای غیرخطی زمان-پیوسته ۸۰ |
| ۸۰..... ۲-۲-۱. کنترل ساختار متغیر ۸۰ |
| ۸۱..... ۲-۲-۲. قانون تنظیم وزنهای شبکه‌های عصبی ۸۱ |
| ۸۲..... ۲-۲-۳. کنترل سیستمهای غیرخطی زمان-پیوسته به روش MRAC و بدون شناسایی اولیه ۸۲ |
| ۸۳..... ۲-۲-۴. توصیف سیستم غیرخطی ۸۳ |
| ۸۵..... ۲-۲-۵. ساختار و طراحی کنترل کننده با استفاده از شبکه عصبی ۸۵ |
| ۸۶..... ۲-۲-۶. طراحی کنترل کننده خوش تعریف ۸۶ |

| | |
|--|--|
| ۴-۲-۲-۲. تنظیم وزنهای شبکه‌های عصبی ۸۷ | |
| ۴-۲-۳. قضیه پایداری ۸۸ | |
| ۵. شبیه‌سازی ۸۹ | |
| فصل ششم: نتیجه‌گیری و ارائه پیشنهادات ۱۱۳ | |
| ۶-۱. مقدمه ۱۱۳ | |
| ۶-۲. نتیجه‌گیری ۱۱۳ | |
| ۶-۳. پیشنهادات ۱۲۰ | |
| پیوست الف: معادله دینامیکی پاندول معکوس ۱۲۲ | |
| پیوست ب: معادله دینامیکی ربات دو درجه آزادی ۱۲۳ | |
| پیوست پ: قضیه همگرایی ۱۲۵ | |
| پیوست ت: اثبات پایداری و همگرایی پارامترها ۱۲۸ | |
| پیوست ث: تعریف ابزار ریاضی ۱۳۰ | |
| فهرست مراجع ۱۳۱ | |

فهرست تصاویر و نمودارها

فصل دوم

شكل (٢-١) سیستم کنترل تطبیقی غیر مستقیم ۱۷

شكل (٢-٢) سیستم کنترل تطبیقی مستقیم ۱۷

فصل سوم

شکل (۱-۳) ساختار شبکه عصبی پیشخورد سه لایه ۲۱
 شکل (۲-۳) گراف آموزش یک شبکه سه لایه با دو مرحله: انتشار مستقیم و پس-انتشار ۲۲

فصل چهارم

| | |
|---------|--|
| ۳۲..... | شکل (۴-۱) تعیین هویت سیستم غیرخطی توسط شبکه‌های عصبی |
| ۳۲..... | شکل (۴-۲) مدل شبکه عصبی سیستم |
| ۳۴..... | شکل (۴-۳) نمودار ورودی-خروجی تابع ناحیه مرده D |
| ۴۰..... | شکل (۴-۴) ساختار کنترل کننده عصبی |
| ۵۱..... | شکل (۴-۵) خروجی سیستم با (الف) $d_0=0.07$ (ب) $d_0=0.03$ |
| ۵۱..... | شکل (۶-۱) رفتار وزن w_{11} شبکه عصبی با (الف) $d_0=0.07$ (ب) $d_0=0.03$ |
| ۵۲..... | شکل (۷-۴) خروجی سیستم به ازای سه حالت اولیه مختلف و با $d_0=0.05$ |
| ۵۳..... | شکل (۸-۴) خروجی سیستم برای مسئله رگلاسیون (الف) با $d_0=0.09$ (ب) $d_0=0$ |
| ۵۳..... | شکل (۹-۴) تأثیر ناحیه مرده بر روی رفتار یکی از وزنهای انتخابی |
| ۵۵..... | شکل (۱۰-۴) ساختار تعلیم شبکه‌های عصبی برای شناسایی مدل |
| ۵۶..... | شکل (۱۱-۴) خروجی پاندول معکوس به ازای (الف) $d_0=0.015$ (ب) $d_0=0.01$ |
| ۵۶..... | شکل (۱۲-۴) رفتار یکی از وزنهای شبکه عصبی به ازای (الف) $d_0=0.015$ (ب) $d_0=0.01$ |
| ۵۷..... | شکل (۱۳-۴) ورودی اغتشاش به سیستم |
| ۵۹..... | شکل (۱۴-۴) خروجی سیستم کنترل شده در حضور اغتشاش (الف) $d_0=0.015$ و $q=3$ (ب) $d_0=0.01$ و $q=0.015$ |
| ۶۰..... | شکل (۱۴-۴) خروجی سیستم کنترل شده در حضور اغتشاش (الف) $d_0=0.005$ و $q=6$ (ب) $d_0=0.005$ و $q=5$ |

| | |
|--|----|
| شکل (۱۷-۴) خروجی پاندول با استفاده از الگوریتم تصویر و $\theta=70^{\circ}$ | ۶۲ |
| شکل (۱۸-۴) خروجی پاندول با استفاده از الگوریتم تصویر و $\theta=90^{\circ}$ | ۶۲ |
| شکل (۱۹-۴) خروجی پاندول معکوس در حضور اغتشاش در ورودی | ۶۳ |
| شکل (۲۰-۴) خروجی پاندول معکوس در حضور اغتشاش در خروجی | ۶۴ |
| شکل (۲۱-۴) خروجی پاندول معکوس در حضور اغتشاش پلهای در خروجی | ۶۴ |
| شکل (۲۲-۴) خروجی‌های سیستم غیرخطی کنترل شده (الف) x_1 ب) x_2 | ۶۵ |
| شکل (۲۳-۴) خروجی‌های سیستم غیرخطی کنترل شده در حضور اغتشاش (الف) x_1 ب) x_2 | ۶۶ |
| شکل (۲۴-۴) خروجی‌های ربات با استفاده از کنترل کننده عصبی (الف) زاویه بازوی اول ب) زاویه بازوی دوم | ۶۷ |
| شکل (۲۵-۴) خروجی‌های ربات با استفاده از کنترل کننده PD (الف) زاویه بازوی اول ب) زاویه بازوی دوم | ۶۸ |

فصل پنجم

| | |
|--|-----|
| شکل (۱-۵) ساختار کنترل کننده عصبی | ۸۵ |
| شکل (۲-۵) ساختار شبکه عصبی با یک لایه مخفی | ۸۵ |
| شکل (۳-۵) (الف) خروجی پاندول معکوس کنترل شده ب) خطای بین خروجی سیستم و خروجی مطلوب | ۹۱ |
| شکل (۴-۵) تغییرات یکی از وزنهای انحراف داده شده | ۹۱ |
| شکل (۵-۵) خروجی پاندول معکوس کنترل شده (الف) خطای اولیه ۰.۲ ب) خطای اولیه ۰.۴ | ۹۲ |
| شکل (۶-۵) خروجی ناپایدار سیستم پاندول معکوس به ازای خطای اولیه ۰.۵ و $p_1=18 \mu=0.004$ | ۹۲ |
| شکل (۷-۵) خروجی پایدار سیستم پاندول معکوس به ازای خطای اولیه ۰.۵ و $p_1=20 \mu=0.004$ | ۹۳ |
| شکل (۸-۵) خروجی پاندول معکوس در حضور اغتشاش (الف) $K=0.05$ ب) $K=0.1$ ب) $K=0.2$ | ۹۵ |
| شکل (۹-۵) خروجی پاندول معکوس کنترل شده (الف) خطای اولیه ۰.۲ ب) خطای اولیه ۰.۴ | ۹۶ |
| شکل (۱۰-۵) نحوه تغییرات یکی از وزنهای شبکه‌های عصبی به ازای خطای اولیه ۰.۲ | ۹۶ |
| شکل (۱۱-۵) سیگنال ورودی کنترل (الف) بدون استفاده از روش حذف فرکانس بالا ب) با استفاده از آن | ۹۷ |
| شکل (۱۲-۵) خروجی سیستم کنترل شده در حضور اغتشاش (الف) $K=0.05$ ب) $K=0.1$ ب) $K=0.2$ | ۹۸ |
| شکل (۱۳-۵) (الف) خروجی سیستم ب) سیگنال ورودی کنترل ب) نحوه تغییر یکی از وزنهای شبکه عصبی به ازای خطای اولیه صفر | ۹۹ |
| شکل (۱۴-۵) خروجی پاندل معکوس کنترل شده (الف) خطای اولیه ۰.۲ ب) خطای اولیه ۰.۳ | ۱۰۰ |
| شکل (۱۵-۵) خروجی سیستم کنترل شده در حضور اغتشاش (الف) $K=0.05$ ب) $K=0.1$ ب) $K=0.2$ | ۱۰۱ |
| شکل (۱۶-۵) (الف) خروجی سیستم وندرپل کنترل شده ب) سیگنال ورودی کنترل | ۱۰۲ |
| شکل (۱۷-۵) (الف) خروجی سیستم کنترل شده ب) سیگنال ورودی کنترل | ۱۰۲ |
| شکل (۱۸-۵) خروجی سیستم ربات کنترل شده (الف) $q_1(0)=-2, q_2(0)=0$ ب) $q_1(0)=2, q_2(0)=0$ | ۱۰۴ |

شكل (۱۹-۵) خروجی سیستم ربات کنترل شده در حضور اغتشاش به ازای

$$105 \dots K=1 \quad K=0.5 \quad K=0.1 \quad K=0.005 \quad \text{الف) ب) ت) ب) K=0.1}$$

شكل (۲۰-۵) خروجی سیستم ربات کنترل شده در حضور اغتشاش الف)

$$106 \dots K=1 \quad K=0.5 \quad K=0.1 \quad K=0.1 \quad \text{الف) ب) ب) K=0.5}$$

شكل (۲۱-۵) خروجی سیستم ربات کنترل شده الف)

$$106 \dots q1(0)=-2, q2(0)=0 \quad q1(0)=2, q2(0)=0 \quad \text{الف) ب) ب) K=0.5}$$

شكل (۲۲-۵) خروجی سیستم ربات کنترل شده در حضور اغتشاش به ازای

$$107 \dots K=1 \quad K=0.5 \quad K=0.1 \quad K=0.05 \quad \text{الف) ب) ت) ب) K=0.1}$$

شكل (۲۳-۵) خروجی سیستم ربات کنترل شده در حضور اغتشاش الف)

$$108 \dots K=1 \quad K=0.5 \quad K=0.1 \quad K=0.1 \quad \text{الف) ب) ب) K=0.5}$$

شكل (۲۴-۵) خروجی سیستم ربات کنترل شده الف)

$$109 \dots q1(0)=-2, q2(0)=0 \quad q1(0)=2, q2(0)=0 \quad \text{الف) ب) ب) K=0.5}$$

شكل (۲۵-۵) نحوه تغییرات وزنهای نمونه شبکه عصبی

$$109 \dots \text{PD} \quad \text{الف) ب) ب) K=0.5}$$

شكل (۲۶-۵) خروجی ربات کنترل شده با استفاده از کنترل کننده PD

شكل (۲۷-۵) خروجی سیستم ربات کنترل شده در حضور اغتشاش به ازای

$$111 \dots K=1 \quad K=0.5 \quad K=0.1 \quad K=0.05 \quad \text{الف) ب) ت) ب) K=0.1}$$

شكل (۲۸-۵) خروجی سیستم ربات کنترل شده در حضور اغتشاش الف)

$$112 \dots K=1 \quad K=0.5 \quad K=0.1 \quad K=0.1 \quad \text{الف) ب) ب) K=0.5}$$

فهرست جداول

| |
|---|
| جدول (٤-٤) رابطة بين مقادير d_0 و Δ ٥٢ |
| جدول (٤-٥) رابطة بين مقادير d_0 و p_1 ٩٤ |

فصل اول

مقدمة

۱-۱. کلیات

از جمله مباحثی که در مهندسی کنترل همواره مدنظر بوده و دارای اهمیت بسیار است، کنترل سیستمهایی است که دارای پیچیدگی، نامعینی و دینامیک‌های غیرخطی هستند. بر این اساس، برای طراحی کنترل اینگونه سیستمهای تحقیقات بیشماری انجام گرفته که از جمله برای کنترل غیرخطی چندین روش پیشنهاد شده است. ساده‌ترین این روشها، تقریب خطی یک سیستم غیرخطی حول یک نقطه کار مشخص است که این روش برای سیستمهایی مناسب است که یا دارای دامنه کار محدود و یا دارای میزان کم غیرخطی باشند، که البته با توجه به حجم گسترده سیستمهای غیرخطی در عمل و نیز مسائلی از قبیل نامعینی‌ها و اغتشاشات در سیستم، کارایی این روش محدود می‌گردد. روش‌های متداول دیگر در زمینه کنترل غیرخطی عبارتند از: کنترل تطبیقی^۱، کنترل مبتنی بر لیاپانوف^۲، کنترل مقاوم^۳، کنترل ساختار متغیر^۴.

یکی دیگر از روش‌های کنترل غیرخطی که از دیرباز مورد توجه بوده، روش خطی‌سازی با فیدبک^۵ است که ایده اصلی آن انتقال یک سیستم غیرخطی به پایه جدید برای حذف غیرخطی‌ها و سپس استفاده از روش‌های معمول کنترل خطی برای در اختیار گرفتن سیستم غیرخطی است. ولیکن مشکل این روش در این است که برای حذف کامل غیرخطی‌های سیستم نیاز به دانستن مدلی دقیق از سیستم است و لذا با حضور کوچکترین نامعینی در سیستم، حذف این جمله‌های غیرخطی غیرممکن می‌شود که این به نوبه خود موجب می‌گردد کنترل به خوبی صورت نگیرد. بنابراین برای کنترل چنین سیستمهایی که مدل آنها بطور دقیق مشخص نیست، باید در حین کنترل از روش‌های شناسایی جهت استخراج مدل مناسب استفاده شود که یکی از موفق‌ترین روشها، کنترل تطبیقی است که از اوایل دهه ۶۰ میلادی کارهای جدی برای رشد و توسعه آن آغاز شده است و تاکنون بطور وسیع برای کنترل

1- adaptive control

2- Lyapunov-based control

3- robust control

4- variable structure control

5- feedback linearization

سیستمهای خطی که دارای پارامترهای نامعلوم باشند بکار گرفته شده است. در چند سال اخیر نیز سعی بر این بوده که این روش برای سیستمهای غیرخطی توسعه داده شود. این ایده برای سیستمهای زمان پیوسته با فرض اینکه غیرخطی‌های سیستم را بتوان با تعدادی پارامتر نامعلوم بطور خطی پارامتر-سازی^۱ کرد بررسی شده است [۱ و ۲] که البته این روش با توجه به فرض فوق، بخش محدودی از سیستمهای غیرخطی را دربرمی‌گیرد. برای برطرف کردن این مشکل تحقیقاتی انجام شده که می‌توان به کار مارینو و تومی^۲ [۳] اشاره کرد که در آن نیازی به خطی بودن پارامترهای نامعلوم نیست، ولی چون در این روش باید فرم کلی غیرخطی مشخص و همچنین پارامترهای غیرخطی نامعلوم به توابع معین محدود باشند، استفاده از این روش، محدود به برخی از سیستمهای خاص می‌شود. بنابراین برای مواجه نشدن با این مشکلات، روشهای دیگر شناسایی پیشنهاد می‌شود که استفاده از شبکه‌های عصبی از جمله آنهاست.

در سالهای اخیر با گسترش تحقیقات در زمینه‌های مختلف ثئوری و کاربردی شبکه‌های عصبی، استفاده از آنها در حل مسائل مختلف، موضوع مورد علاقه جامعه کنترل شده است. شبکه‌های عصبی با توجه به توانایی پردازش موازی اطلاعات و داشتن پتانسیل خوب برای تقریب توابع غیرخطی می‌توانند به عنوان ابزاری برای دسته‌بندی کردن اطلاعات، شناسایی و کنترل سیستمهای غیرخطی بکار روند. از جمله پرکاربردترین نوع شبکه‌های عصبی، می‌توان به شبکه‌های عصبی چند لایه^۳ اشاره کرد. برای اولین بار در سال ۱۹۸۹ از این شبکه‌ها، با توجه به توانایی بالای آنها در تقریب توابع غیرخطی، برای کنترل سیستمهای قابل خطی‌سازی با فیدبک در سال ۱۹۹۰ و توسط عصبی چند لایه در کنترل تطبیقی سیستمهای قابل خطی‌سازی با فیدبک در سال ۱۹۹۰ و توسط نارنдра^۴ [۶] و چن^۵ [۷] مطرح گردید، که در روشهای بیان شده، در قانون کنترل خطی‌سازی با

1- linear parameterization

2- Marino and Tomei

3- multilayer neural networks

4- Narendra

5- Chen